

# Invariants des nœuds Legendriens

①

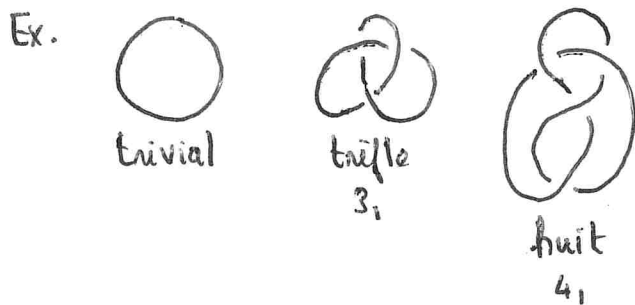
## Références.

- J. Etnyre. Legendrian and transversal knots. Dans Handbook of knot theory, p. 105-185. Elsevier, 2005.
- H. Geiges. A brief history of contact geometry and topology. Expositiones Mathematicae, 19(1): 25-53, 2001.
- H. Geiges. An Introduction to Contact Topology. Cambridge University Press, 2008.

## Introduction et motivations

Nœud : plongement  $S^1 \hookrightarrow \mathbb{R}^3$  (ou  $S^3$ ) ou son image  $K = f(S^1)$

Intuition : bout de ficelle noué dont les extrémités ont été recollées



Question. Classification des nœuds.

Soit  $f_1 : S^1 \hookrightarrow \mathbb{R}^3$  donnés,  $\exists ? f_2 : S^1 \hookrightarrow \mathbb{R}^3$  isotopie.

↳ déformation des nœuds

Rq. Regarder  $S^1 \hookrightarrow \mathbb{R}^n$  avec  $n \geq 4$  n'est pas intéressant, car tous ces plongements sont isotopes, on peut dénouer (Whitney).

Stratégie. Construction d'invariants algébriques i.e.  $K \sim K' \Rightarrow \text{inv}(K) = \text{inv}(K')$  ( $\Leftarrow$  : invariant complet)

Ex. : nombre de croisements, min # croisements dans le diagramme

trivial : 0, trèfle : 3, huit : 4

• groupe de nœud,  $\pi_1(\mathbb{R}^3 \setminus K)$

trivial :  $\mathbb{Z}$ , trèfle :  $\langle x, y \mid x^2 = y^3 \rangle$ , huit :  $\langle x, y \mid yxy^{-1}xy = xyx^{-1}yx \rangle$

Thm de Seifert-Van Kampen sur algorithmes de calcul, présentation de Wirtinger

Problème : difficile de savoir si deux groupes donnés par une présentation sont isomorphes

• polynômes de nœuds : Alexander, Jones, ...

• homologie de Heegaard-Floer

⇒ Les exemples donnés sont 2 à 2 non isotopes.

Motivation. Toute 3-variété est obtenue par chirurgie de Dehn sur  $S^3$ .

↳  $K \subset S^3 \rightsquigarrow S^3 \setminus K \rightsquigarrow (S^3 \setminus K) \cup_{\partial} (\mathbb{D}^2 \times S^1)$ , on a :  $\partial(S^3 \setminus K) = \mathbb{T}^2 = \partial(\mathbb{D}^2 \times S^1)$ .

retirer un nœud      recoller un tore plein

Comprendre les nœuds  $\Rightarrow$  comprendre les 3-variétés.

Démarche. Rajouter de la structure à  $\mathbb{R}^3$  (structure de contact)

Etudier des nœuds compatibles à cette structure (nœuds Legendriens)

Exploiter la nouvelle structure pour construire de nouveaux invariants.

# 1. Géométrie de contact

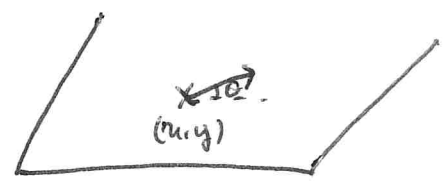
## 1.1. Un exemple introductif: la conduite d'une voiture

Situation physique: Voiture qui roule sans glisser sur un revêtement plat infini.

Objectif: décrire son mouvement

Modélisation: état de la voiture = position + direction (vecteur tangent unitaire)  
 $(x, y) \in \mathbb{R}^2$        $\theta \in S^1$

(vitesse constante)  
↳ système conservatif



Espace des phases:  $ST\mathbb{R}^2 = \mathbb{R}^2 \times S^1$  ( $\mathbb{R}^2$  est parallélisable)

Degrés de liberté: tourner les roues:  $\partial_\theta$

se déplacer dans la direction des roues:  $\cos\theta \partial_x + \sin\theta \partial_y$

↳ champ de plans (contraintes):  $\xi = \text{Vect}(\partial_\theta, \cos\theta \partial_x + \sin\theta \partial_y)$   
 $= \ker(\cos\theta dy - \sin\theta dx)$

↳  $\xi$  et  $\ker(\cos\theta dy - \sin\theta dx)$  même rang

et  $(\cos\theta dy - \sin\theta dx)(\partial_\theta) = 0$

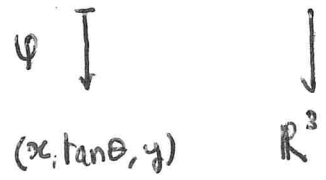
$$(\cos\theta dy - \sin\theta dx)(\cos\theta \partial_x + \sin\theta \partial_y) = \cos\theta \sin\theta - \sin\theta \cos\theta = 0$$

donc  $\partial_\theta, \cos\theta \partial_x + \sin\theta \partial_y \in \ker(\cos\theta dy - \sin\theta dx)$ .

Conclusion: Trajectoire de la voiture est partout tangente à  $\xi$ .

Cas particulier: Restreindre les directions possibles:  $\theta \in ]-\frac{\pi}{2}, \frac{\pi}{2}[$ .

$(x, y, \theta) \in \mathbb{R}^2 \times ]-\frac{\pi}{2}, \frac{\pi}{2}[ \subset ST\mathbb{R}^2$  est un difféomorphisme.



$$\varphi_* \xi = T\varphi(\xi) = \ker(dz - y dx), \text{ car } \ker(\cos\theta dy - \sin\theta dx) = \ker(dy - \tan\theta dx)$$
  
$$= \xi_{\text{std}} \quad \uparrow \text{diviser par } \cos\theta \neq 0.$$

Dictionnaire: contraintes  $\leftrightarrow$   $\xi$  structure de contact  
trajectoire  $\leftrightarrow$  courbe Legendrienne.

Exemple de géométrie de contact en théorie du contrôle et système conservatif en mécanique.

1.2. Structures de contact

M variété de dimension 3.

Def.  $\alpha \in \Omega^1 M$  contact si  $\alpha \wedge d\alpha \neq 0$ .

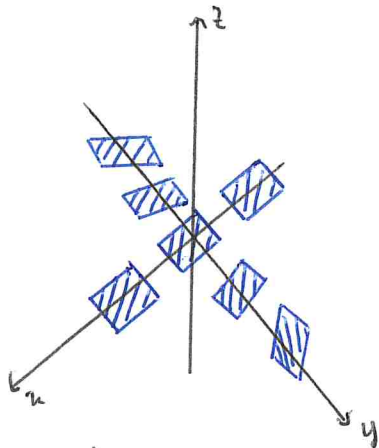
Ex.  $M = \mathbb{R}^3, \alpha = dz - ydx$

$M = \mathbb{R}^2 \times S^1, \alpha = \cos \theta dy - \sin \theta dz$

$M = S^3 \subset \mathbb{R}^4, \alpha = x_1 dy_1 - y_1 dx_1 + x_2 dy_2 - y_2 dx_2$

Def.  $\xi \subset TM$  champ de plans,  $\xi$  structure de contact si  $\xi = \ker \alpha, \alpha$  contact.

Ex.



$\xi_{std} = \ker(dz - ydx)$

$\xi_{std}(0)$ : horizontal

$\xi_{std}$  est invariant par  $\partial_x$  et  $\partial_z$

$\xi_{std}$  tourne le long de l'axe y.

Def.  $(M, \xi)$  variété de contact si  $\xi$  structure de contact.

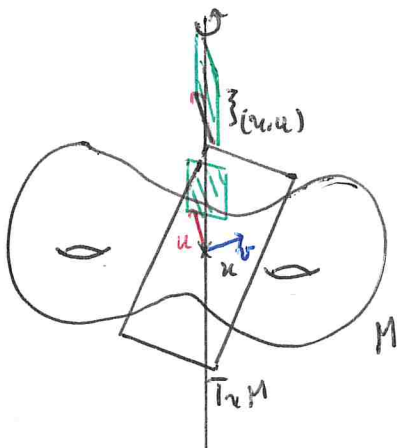
Ex.  $(X^2, g)$  riemannienne,  $\forall x \in X, g_x$  produit scalaire sur  $T_x X$ .

STM =  $\{(u, v), u \in X, v \in T_x X, g_x(v, v) = 1\}$  fibre tangent unitaire  
dimension 3

$\Pi: STX \rightarrow X, T\Pi: TSTX \rightarrow TX$   
 $(u, v) \mapsto x$

$\forall (u, v) \in STX, \xi_{(u, v)} = \ker(u \in T_x X \mapsto g_x(v, T_x u)), \alpha_{(u, v)}(u) = g_x(v, T_x u)$  contact

$\xi_{(u, v)}$  se projete sur l'orthogonal de  $v$  via  $\Pi$ .



Pour  $X = \mathbb{R}^2$ , on retrouve la structure de contact de l'exemple introductif.

Pour  $X = \mathbb{T}^2$ , on construit une structure de contact sur  $\mathbb{T}^3$ .

Rq. Thm (Frobenius)  $\xi$  intégrable i.e.  $\forall x \in M, \exists x \in U \subset M$  ouvert,  $S$  surface de  $M$  tq  $\forall y \in U, T_y S = \xi_y \Leftrightarrow \alpha \wedge d\alpha = 0$ .

Conséquence: Il n'existe pas de surface partout tangente à une structure de contact.

Thm (Darboux)

$(M, \xi)$  contact,  $(M, \xi) \cong (\mathbb{R}^3, \ker(dz - ydx))$  i.e.  $T\Pi(\xi) = \ker(dz - ydx)$ . Si  $\xi = \ker \alpha$ , on peut demander  $\varphi^*(dz - ydx) = \alpha$ .

Rq. Unique modèle local pour les variétés de contact et les formes de contact



## 2. Nœuds Legendriens

$$(M, \xi) = (\mathbb{R}^3, \xi_{std} = \ker(dz - ydx))$$

### 2.1. Approximation Legendrienne

Def.  $L$  variété de dimension 1,  $j: L \hookrightarrow (\mathbb{R}^3, \xi_{std})$  plongement.

$j$  est Legendrien si  $T_j(L) \subset \xi_{std}$  i.e.  $j^*(dz - ydx) = 0$ .

$\Lambda = j(L)$  est une courbe Legendrienne.

Si  $L \cong S^1$ ,  $\Lambda$  est un nœud Legendrien.

Rq.  $T\Lambda \subset \xi_{std}$ ,  $\Lambda$  est partout tangente à  $\xi_{std}$  et est de dimension maximale pour cette propriété.

$\Lambda$  courbe Legendrienne de  $(\mathbb{R}^3, \xi_{std})$ .

Def. Projection frontale:  $\pi_{xz}: \mathbb{R}^3 \rightarrow \mathbb{R}^2$ ,  $\pi_{xz}(\Lambda)$ : front de  $\Lambda$ .


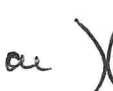
$$(x, y, z) \mapsto (x, z)$$

Projection Lagrangienne:  $\pi_{xy}: \mathbb{R}^3 \rightarrow \mathbb{R}^2$ ,  $\pi_{xy}(\Lambda)$ : diagramme Lagrangien de  $\Lambda$ .

$$(x, y, z) \mapsto (x, y)$$

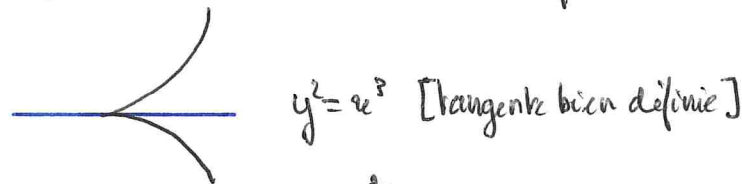
Ces projections permettent d'étudier les courbes Legendriennes de  $(\mathbb{R}^3, \xi_{std})$ :

Prop. Génériquement:

(1) (a)  $\pi_{xz}: \Lambda \rightarrow \mathbb{R}^2$  est une immersion en dehors d'un nombre fini de points n'ayant que des points doubles transverses ( $X$ , pas:  ou ).

triple pas transverse

Les points où  $\pi_{xz}: \Lambda \rightarrow \mathbb{R}^2$  n'est pas une immersion sont semi-cubiques:



(b) Le front de  $\Lambda$  détermine uniquement  $\Lambda$  via  $y = \frac{dz}{dx}$ .

$\Rightarrow$  Le front de  $\Lambda$  n'a pas de tangente verticale.

(2) (a)  $\pi_{xy}: \Lambda \rightarrow \mathbb{R}^2$  est une immersion n'ayant que des points doubles transverses.

(b) Le diagramme Lagrangien de  $\Lambda$  détermine uniquement  $\Lambda$  à translation le long de l'axe  $z$  via:

$$z = z(0) + \int_0^1 xy$$

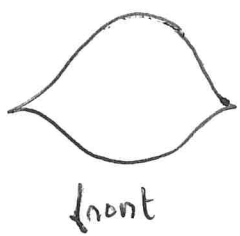
Rq. Génériquement,  $\pi_{xy}(\Lambda)$  est une Lagrangienne immergée n'ayant que des points doubles transverses de  $(\mathbb{R}^2, dx \wedge dy)$ .

Si  $\Lambda$  est un nœud, alors  $\pi_{xy}(\Lambda)$  borde un domaine  $D \subset \mathbb{R}^2$  d'aire nulle, car  $z(0) = z(1) \Rightarrow \int_0^1 xy = 0$ .

Or, par Green-Riemann, on a:  $\int_0^1 xy = - \iint_D dx dy$ .

Rappel:  $\int_C p dx + q dy = \iint_D \left( \frac{\partial q}{\partial x} - \frac{\partial p}{\partial y} \right) dx dy$ .

Ex.



front

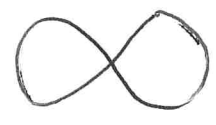
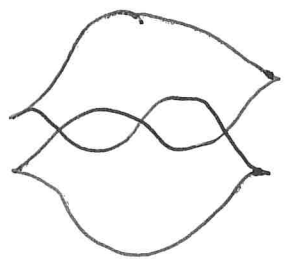


diagramme lagrangien

nœud trivial



front

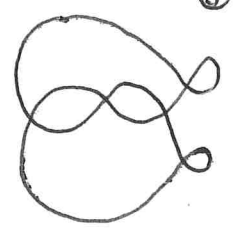


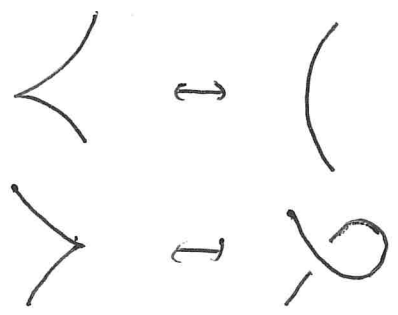
diagramme lagrangien

nœud de trèfle

En projection frontale, quand  $\frac{dz}{dx} > 0$ ,  $\Lambda$  revient vers nous.

quand  $\frac{dz}{dx} < 0$ ,  $\Lambda$  s'éloigne de nous.

Rq. Passer des projections frontales aux projections lagrangiennes et inversement :

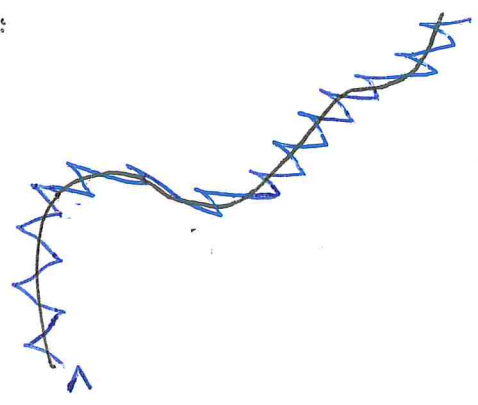


Thm. (approximation legendrienne)

$L \subset \mathbb{R}^3$  de dimension 1.

$L$  est  $C^0$ -approximée par des courbes legendriennes de  $(\mathbb{R}^3, \mathcal{F}_{std})$ .

Dém. En projection frontale :



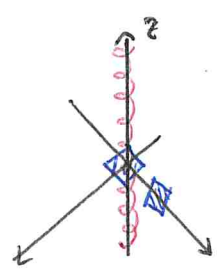
[faire les zigzags avec des pentes données par  $y$ ]



Rq. Il y a beaucoup de courbes legendriennes.

Tout nœud topologique admet au moins un représentant legendrien !

Ex.



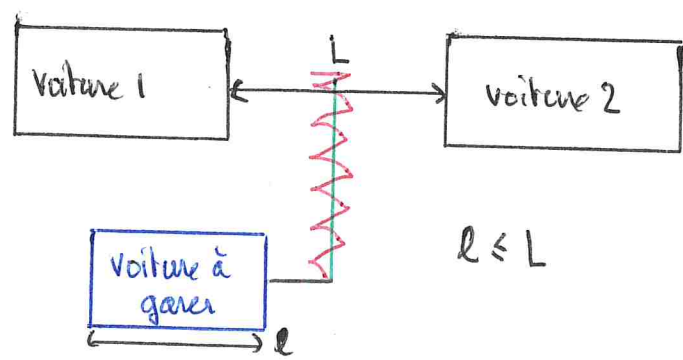
$C^0$ -approximation de  $\{z=0\}$  par une courbe legendrienne de  $(\mathbb{R}^3, \mathcal{F}_{std})$ .

$\mathcal{F}_{std}(0)$  est horizontal, mais  $\mathcal{F}_{std}$  tourne le long de l'axe  $y$ , donc en s'écartant de 0, on peut monter en restant tangent à  $\mathcal{F}_{std}$ .

Rq. Ce résultat permet de retrouver la non-intégrabilité de  $\xi_{std}$ .

Il n'existe pas de surface dont les chemins permettent de relier tous les points de  $\mathbb{R}^3$ .

Cor. Il est toujours possible de se garer en aéroport entre deux voitures si la place disponible est plus grande que celle de la voiture à garer.



— non réalisable  
 — approximation Legendrienne

Dém. L'approximation Legendrienne est locale et localement  $(M, \xi) \cong (\mathbb{R}^3, \ker(dz - ydx))$ , donc elle est valable dans toute variété de contact.

On l'applique à  $(S^1 \times \mathbb{R}^2, \ker(\sin \theta dy - \cos \theta dx))$  qui modélise la conduite d'une voiture.

### 2.2. Isotopie Legendrienne

On travaille avec des nœuds Legendriens.

Def.  $(j_t: S^1 \hookrightarrow (\mathbb{R}^3, \xi_{std}))_{t \in [0,1]}$  famille de plongements.

$(j_t)_t$  est une isotopie Legendrienne si  $\forall t, T_{j_t}(S^1) \subset \xi_{std}$  i.e.  $j_t^*(dz - ydx) = 0$ .

↳ déformation de nœuds Legendriens.

Question.  $\Lambda_0, \Lambda_1$  nœuds Legendriens,  $\Lambda_0$  et  $\Lambda_1$  sont-ils Legendriennement isotopes ?

↳ Raffinement de la théorie des nœuds topologiques: seules les déformations restant en tout temps partout tangente à  $\xi_{std}$  sont autorisées.

Ex. sont non Legendriennement isotopes, car non isotopes.

Question (rigidité). Existe-t-il des nœuds Legendriens isotopes mais pas Legendriennement isotopes ?

↳ phénomènes non topologiques en topologie de contact.

Rq. On peut raffiner la question en remplaçant "isotopes" par "formellement Legendriennement isotopes", ce qui veut dire qu'il n'y a pas d'obstructions homotopiques (topologie algébrique) à l'existence d'une isotopie Legendrienne.

↳ Recherches actuelles en topologie de contact: déterminer la frontière entre flexibilité/rigidité.

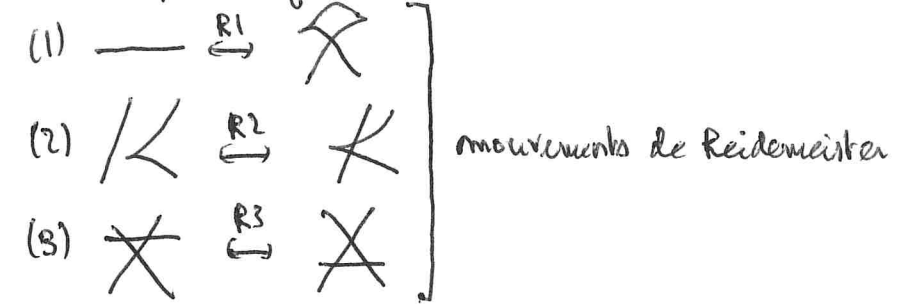
Ex. sont des nœuds topologiques triviaux, sont-ils Legendriennement isotopes ?



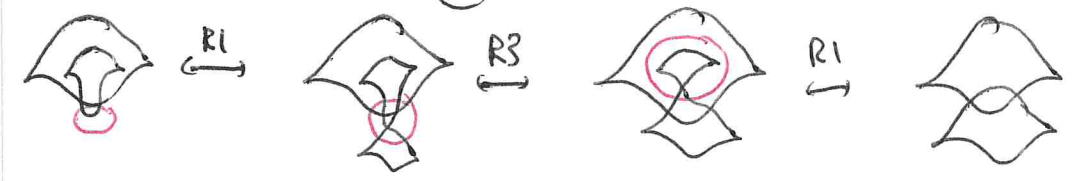
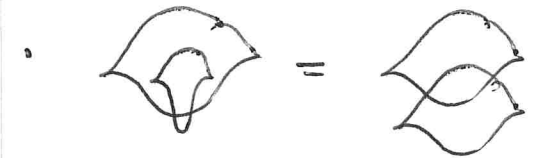
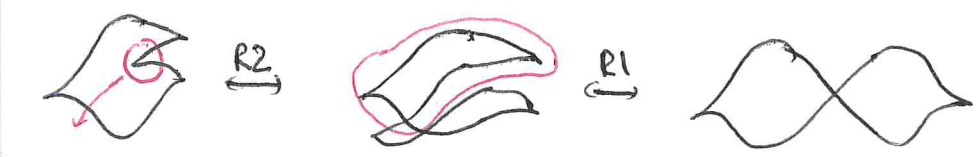
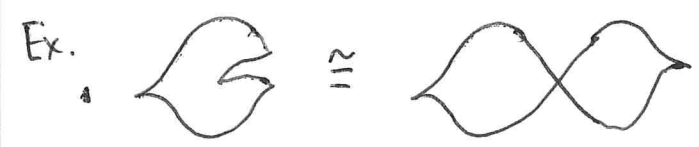
Thm. (Świątkowski, 1992)

Deux nœuds legendriens sont legendriennement isotopes si, et seulement, si leurs projections frontales sont reliés par un nombre fini de mouvements suivants :

(0) isotopie des fronts

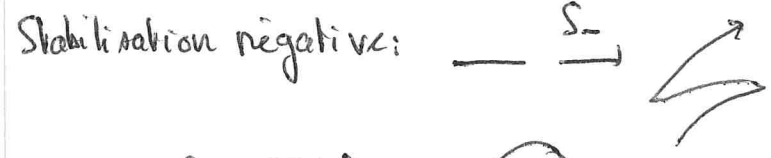
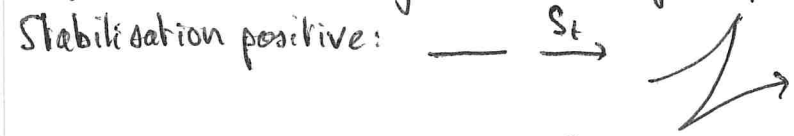


Rq. Il y a un analogue pour les nœuds topologiques.



Opérations qui ne changent pas la classe topologique d'un nœud legendrien :

Def. On remplace un segment lisse du front par un zig zag :



Les stabilisations apportent de la flexibilité aux nœuds legendriens :

Thm. (Fuchs, Tabachnikov, 1997)

Deux nœuds legendriens isotopes deviennent legendriennement isotopes après un nombre fini de stabilisations.

Rq. Les stabilisations ne sont pas des opérations anodines du point de vue de la topologie de contact.

Tous les invariants legendriens de nature contact d'un nœud legendrien stabilisé sont nuls.

### 3. Invariants classiques

Étude de la rigidité des nœuds légendriens.

#### 3.1. Nombre de notation

$\Lambda$  nœud légendrien orienté générique.

Déf. Le nombre de notation  $\pi(\Lambda)$  de  $\Lambda$  est défini en projection frontale par :

$$\pi(\Lambda) = \frac{1}{2} (\# \curvearrowright - \# \curvearrowleft) \in \mathbb{Z}$$

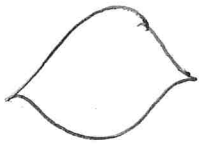
Prop.  $\pi(\Lambda) = \text{ind}(\pi_{xy}(\Lambda)) = \text{deg} \left( \frac{\pi_{xy}}{\|\pi_{xy}\|} \right)$ .

Dém. Passage de la projection frontale à la projection lagrangienne.

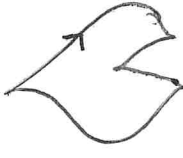
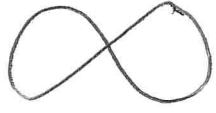
Rq.  $\pi(\Lambda)$  compte le nombre de tour orienté des tangentes au diagramme lagrangien de  $\Lambda$ .

$\hookrightarrow \pi_{xy}: \Lambda \rightarrow \mathbb{R}^2$  est une immersion, bien défini.

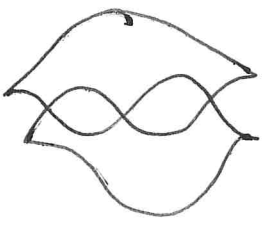
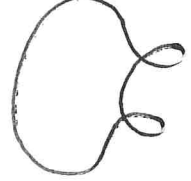
Ex.



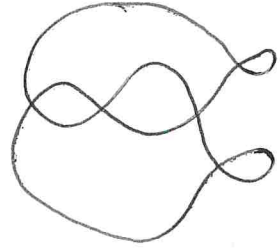
$\pi = 0$



$\pi = -1$




$\pi = 0$



Prop.  $\pi$  est invariant par isotopie légendrienne.

Dém. D'après le théorème de Świątkowski, il suffit de vérifier que les mouvements de Reidemeister ne changent pas la valeur de  $\pi$  (compter les nouvelles contributions après les mouvements).

R1:  :  $\frac{1}{2} (\# \curvearrowright - \# \curvearrowleft) = \frac{1}{2} (1 - 1) = 0$  (création de deux cusps)

R2: pas de création de cusps.  
disparition

R3: pas de création de cusps.  
disparition

Prop.  $\pi(S_{\pm}(\Lambda)) = \pi(\Lambda) \mp 1$ .

Dém.  $\curvearrowright$  :  $\frac{1}{2} (\# \curvearrowright - \# \curvearrowleft) = \frac{1}{2} (0 - 2) = -1$ .

$\curvearrowleft$  :  $\frac{1}{2} (\# \curvearrowright - \# \curvearrowleft) = \frac{1}{2} (2 - 0) = 1$ .



### 3.2. Nombre de Thurston-Bennequin

$\Lambda$  nœud Legendrien orienté générique.

Déf. Le nombre de Thurston-Bennequin  $tb(\Lambda)$  de  $\Lambda$  est défini en projection frontale par :

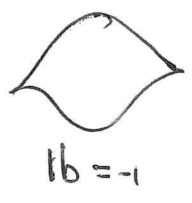
$$tb(\Lambda) = \# \times - \# \times - \frac{1}{2}(\# \curvearrowright + \# \curvearrowleft) \in \mathbb{Z}.$$

Rq. Dans une projection frontale les croisements  $\times$  n'arrivent jamais, car  $y = \frac{dz}{dx}$  implique que le brin du dessus à la plus grande pente.

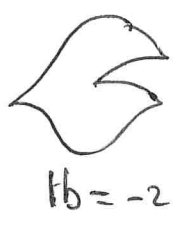
Prop.  $tb(\Lambda) = \text{enl}(\Lambda, \Lambda')$ , où  $\Lambda'$  est obtenu en décalant légèrement  $\Lambda$  dans la direction  $z > 0$ .

$= \# \times - \# \times$ , on compte uniquement les croisements mixtes ( $\Lambda$  avec  $\Lambda'$ ) et pas les croisements de  $\Lambda$  avec  $\Lambda$  et  $\Lambda'$  avec  $\Lambda'$ .

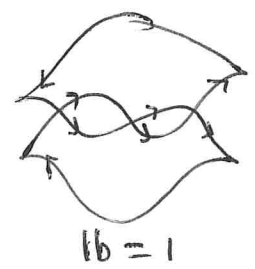
Ex.



$tb = -1$



$tb = -2$



$tb = 1$

$$\# \times - \# \times - \frac{1}{2}(\# \curvearrowright + \# \curvearrowleft) = 3 - 0 - \frac{1}{2}(2 + 2) = 1.$$

Prop.  $tb$  est invariant par isotopie Legendrienne.

Dém. D'après le théorème de Swatkowski, il suffit de vérifier que les mouvements de Reidemeister ne changent pas la valeur de  $tb$  (compter les nouvelles contributions après les mouvements).

R1: :  $\# \times - \# \times - \frac{1}{2}(\# \curvearrowright + \# \curvearrowleft) = 1 - 0 - \frac{1}{2}(1 + 1) = 0$  (création de deux cusps et d'un croisement)

R2: :  $\# \times - \# \times - \frac{1}{2}(\# \curvearrowright + \# \curvearrowleft) = 1 - 1 - \frac{1}{2}(0 + 0) = 0$  (pas de création de cusps + création de deux croisements)

Les autres orientations sont analogues; les croisements sont opposés.

R3: pas de création de cusps et croisements.  
disparition

Prop.  $tb(S_{\pm}(\Lambda)) = tb(\Lambda) - 1$ .


Dém. :  $\# \times - \# \times - \frac{1}{2}(\# \curvearrowright + \# \curvearrowleft) = 0 - 0 - \frac{1}{2}(0 + 2) = -1$ .

:  $\# \times - \# \times - \frac{1}{2}(\# \curvearrowright + \# \curvearrowleft) = 0 - 0 - \frac{1}{2}(2 + 0) = -1$ .

### 3.3. Rigidité et classification

Thm. Toute classe d'isotopie d'un nœud legendrien se scinde en une infinité de classes d'isotopie legendrienne.

Dém. Stabilisation: préserve la classe d'isotopie lisse +  $n, tb$  invariants par isotopie legendrienne. change la valeur de  $n$  et  $tb$

Ex. 

$(r, tb) = (0, -1)$        $(r, tb) = (-1, -2)$        $(r, tb) = (-2, -3)$       ...       $(r, tb) = (-n, -n-1)$  ]  $n$  stabilisations

nœuds topologiques triviaux non legendriennement isotopes.

Rq. Réponse aux questions: Oui, il y a de la rigidité legendrienne! (phénomènes non topologiques). La topologie classique échoue à classer les nœuds legendriens.

Question. Pour quels nœuds topologiques, les classes d'isotopie legendrienne sont distingués par  $(r, tb)$ ?


Thm. (Eliashberg, Fraser, 2009)

Deux nœuds legendriens topologiquement triviaux sont legendriennement isotopes si, et seulement, s'ils ont même  $r$  et  $tb$ .

Thm. (Ebnay, Honda, 2001)

Deux nœuds legendriens toriques (pouvant être dessinés sur un tore, comme le trefoil)/en huit sont legendriennement isotopes si, et seulement, s'ils ont même  $r$  et  $tb$ .

Thm (Chekanov, 2002)



et

sont isotopes, ont mêmes  $n$  et  $tb$

mais ne sont pas legendriennement isotopes.

Rq. Pour distinguer ces nœuds legendriens; Y. Chekanov utilise ce qui sera une version combinatoire de l'homologie de contact legendrienne en dimension 3.

↳ Son article contient déjà la notion d'augmentation et d'homologie linéarisée.

Limitation de  $(\tau, \text{tb})$  pour l'étude de la rigidité Legendrienne :

- $(\tau, \text{tb})$  ne suffisent pas à distinguer les différents représentants d'un nœud topologique donné.
- $(\tau, \text{tb})$  sont des invariants provenant de la topologie algébrique, ils n'exploitent pas vraiment la structure de contact ambiante.

Solutions :

- (1) homologies pour les familles génératrices : théorie de Morse-Bott-Cerf (Sabloff, Traynor)
- (2) homologie de contact Legendrienne : courbes pseudo-holomorphes (Gromov) (Etnyre, Ekholm, Sullivan)

Comparaison :

- (1) : facile à définir (peu de bagage technique)  
difficile à calculer (pas de méthode)
  - (2) : difficile à définir (beaucoup de bagage technique)  
calculable par la théorie des Morse flow trees (Ekholm)
- (1) et (2) sont étroitement liés (Fuchs, Rutherford).

Objectif de ma thèse :

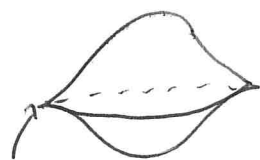
- méthode de calcul pour (1)  
escaliers de gradient  $\leftrightarrow$  Morse flow trees
- rapprocher (1) et (2)

Généralisation des concepts en dimension  $2n+1$  :

$$\mathbb{S} \quad \mathbb{S}^{2n+1}$$

$$\alpha \wedge d\alpha \quad \rightarrow \quad \alpha \wedge (d\alpha)^n$$

$$\Lambda, \text{TLC } \xi, \dim \Lambda = 1 \quad \rightarrow \quad \Lambda, \text{TLC } \xi, \dim \Lambda = n \text{ (sous-variété Legendrienne)}$$



équateur de cusps

front d'une sphère Legendrienne  
en dimension 5

$$\text{nœud Legendrien stabilisé} \quad \rightarrow \quad \text{sous-variété Legendrienne lâche}$$

Structures de contact sur :  $J^1M, \text{STM}, \text{PTM}, S^{2n+1}, \dots$

Tous les énoncés se généralisent à la dimension supérieure.

En dimension 3, on a des techniques spécifiques (combinatoires) qui nous facilitent la tâche.

Mes travaux devraient indifféremment traiter toutes les dimensions.

Cet exposé n'a fait qu'éblouir une infime partie de l'immense divanité des questions en topologie de contact.